

Электронный научный журнал "Математическое моделирование, компьютерный и натурный эксперимент в естественных науках" <http://mathmod.esrae.ru/>

URL статьи: [mathmod.esrae.ru/15-52](http://mathmod.esrae.ru/15-52)

Ссылка для цитирования этой статьи:

Зеленая А.С., Изгиб упругой трехслойной прямоугольной пластины со сжимаемым наполнителем // Математическое моделирование, компьютерный и натурный эксперимент в естественных науках. 2017. №3

УДК 539.3

## ИЗГИБ УПРУГОЙ ТРЕХСЛОЙНОЙ ПРЯМОУГОЛЬНОЙ ПЛАСТИНЫ СО СЖИМАЕМЫМ ЗАПОЛНИТЕЛЕМ

Зеленая А.С.

Белорусский государственный университет транспорта, Беларусь, Гомель,  
[lady-nastia@mail.ru](mailto:lady-nastia@mail.ru)

## BENDING OF ELASTIC THREE-LAYER RECTANGULAR PLATE WITH COMPRESSIBLE FILLER

Zelenaya A.S.

Belarusian State University of Transport, Belarus, Gomel, [lady-nastia@mail.ru](mailto:lady-nastia@mail.ru)

**Аннотация.** Исследован изгиб несимметричных по толщине упругих трехслойных пластин со сжимаемым наполнителем. Кинематические гипотезы основаны на гипотезе ломаной линии: для внешних слоев принимаются гипотезы Кирхгофа, в жестком сжимаемом наполнителе деформированная нормаль остается прямолинейной. Равномерно распределенная нагрузка приложена к внешней поверхности первого несущего слоя. Получена система уравнений равновесия и ее аналитическое решение в перемещениях. Проведен численный анализ решения.

**Ключевые слова:** трехслойная прямоугольная пластина, сжимаемый наполнитель, несимметричная по толщине пластина.

**Abstract.** The bending of the elastic three-layered plates with the compressible filler is asymmetric in thickness. Kinematic hypotheses are based on the hypothesis of a broken line: Kirchhoff's hypotheses are accepted for the outer layers, in the rigid compressible filler the deformed normal remains rectilinear. A uniformly distributed load is applied to the outer surface of the first carrier layer. A system of equilibrium equations and its analytical solution in displacements are obtained. Numerical analysis of solutions is carried out.

**Keywords:** three-layer rectangular plate, compressible filler, asymmetrical in thickness plate.

В условиях деформации изгиба трехслойные конструкции, которые состоят из двух несущих слоев и сжимаемого наполнителя, оказываются наиболее рациональными, то есть близкими к оптимальным с точки зрения

обеспечения минимума весовых показателей при заданных ограничениях на прочность и жесткость.

В монографии [1] исследовано статическое и динамическое деформирование трехслойных конструкций, связанных с упругим основанием. Статьи [2-4] посвящены исследованию трехслойных прямоугольных и трехслойных круговых пластин. Работы [5-6] посвящены изучению статического и динамического деформирования многослойных конструкций. Изгиб и колебания трехслойного стержня рассмотрены в работах [7-11]. В статье [12] исследованы радиальные колебания трехслойной цилиндрической оболочки со сжимаемым наполнителем. В работе [13] рассматривается осесимметричная задача о гидроупругих колебаниях стенок канала с пульсирующим слоем вязкой несжимаемой жидкости. Статья [14] посвящена исследованию гидродинамической реакции тонкого слоя вязкой несжимаемой жидкости, сдавливаемого непроницаемыми стенками. В статьях [15-16] исследована задача гидроупругости применительно к трехслойным элементам конструкций. В монографии [17] исследованы математические вопросы гидроупругости трехслойных элементов конструкций.

**Постановка задачи.** Рассмотрим трехслойную пластину со сжимаемым наполнителем, которая представлена на рис. 1. Систему координат  $x, y, z$  свяжем со срединной плоскостью наполнителя. Принимаем, что для изотропных несущих слоев справедливы гипотезы Кирхгофа. В жестком наполнителе применим точные соотношения теории упругости с линейной аппроксимацией перемещений его точек от поперечной координаты  $z$ . Учитываем, что на границах контакта перемещения непрерывны. Материалы несущих слоев несжимаемы в поперечном и продольном направлении, в наполнителе учитывается обжатие. Деформации малые.

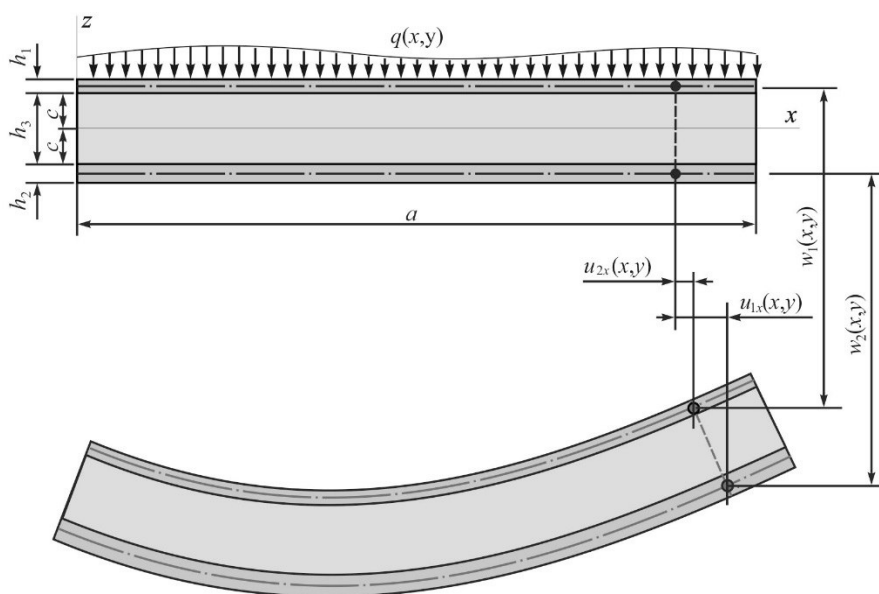


Рис.1.

На внешнюю поверхность первого несущего слоя действует произвольная распределённая нагрузка, проекции которой на координатные оси:  $q(x, y)$ ,  $p_x(x, y)$ ,  $p_y(x, y)$ . За искомые функции принимаем продольные перемещения  $u_{kx}(x, y)$ ,  $u_{ky}(x, y)$  и прогибы  $w_k(x, y)$  срединных поверхностей несущих слоев ( $k = 1, 2$ ), после этого находим деформации в слоях.

С помощью введенных гипотез продольные перемещения  $u^{(k)}(x, y, z)$  и прогибы  $w^{(k)}(x, y, z)$  в слоях выражаются через искомые функции  $u_{1x}(x, y)$ ,  $u_{1y}(x, y)$ ,  $u_{2x}(x, y)$ ,  $u_{2y}(x, y)$ ,  $w_1(x, y)$ ,  $w_2(x, y)$  следующими соотношениями ( $k = 1, 2, 3$ ):

- в несущих слоях ( $c \leq z \leq c + h_1$ )

$$u_x^{(1)} = u_{1x} - \left( z - c - \frac{h_1}{2} \right) w_{1,x}, \quad w^{(1)} = w_1,$$

$$u_y^{(1)} = u_{1y} - \left( z - c - \frac{h_1}{2} \right) w_{1,y}, \quad u_x^{(2)} = u_{2x} - \left( z + c + \frac{h_2}{2} \right) w_{2,x},$$

$$w^{(2)} = w_2 \quad (-c - h_2 \leq z \leq -c), \quad u_y^{(2)} = u_{2y} - \left( z + c + \frac{h_2}{2} \right) w_{2,y};$$

- в заполнителе ( $-c \leq z \leq c$ )

$$u_x^{(3)} = \left( 1 + \frac{z}{c} \right) \left( \frac{1}{2} u_{1x} + \frac{h_1}{4} w_{1,x} \right) + \left( 1 - \frac{z}{c} \right) \left( \frac{1}{2} u_{2x} - \frac{h_2}{4} w_{2,x} \right),$$

$$u_y^{(3)} = \left( 1 + \frac{z}{c} \right) \left( \frac{1}{2} u_{1y} + \frac{h_1}{4} w_{1,y} \right) + \left( 1 - \frac{z}{c} \right) \left( \frac{1}{2} u_{2y} - \frac{h_2}{4} w_{2,y} \right),$$

$$w^{(3)} = \frac{1}{2} \left( 1 + \frac{z}{c} \right) w_1 + \frac{1}{2} \left( 1 - \frac{z}{c} \right) w_2, \quad (1)$$

где  $z$  – расстояние от рассматриваемого волокна до срединной линии заполнителя.

Компоненты тензора деформаций следуют из соотношения Коши [18, с. 22], напряжения – из закона Гука. Внутренние силы и моменты, отнесенные к единице длины, вводятся соотношениями:

$$N_{xx}^{(k)} = \int_{h_k} \sigma_{xx}^{(k)} dz, \quad N_{yy}^{(k)} = \int_{h_k} \sigma_{yy}^{(k)} dz, \quad M_{xx}^{(k)} = \int_{h_k} \sigma_{xx}^{(k)} z dz, \quad M_{yy}^{(k)} = \int_{h_k} \sigma_{yy}^{(k)} z dz,$$

$$M_{xy}^{(k)} = \int_{h_k} \sigma_{xy}^{(k)} z dz, \quad Q_{xy}^{(k)} = \int_{h_k} \sigma_{xy}^{(k)} dz, \quad N_{zz}^{(3)} = \int_{h_3} \sigma_{zz}^{(3)} dz, \quad M_{xz}^{(3)} = \int_{h_3} \sigma_{xz}^{(3)} z dz,$$

$$M_{yz}^{(3)} = \int_{h_3} \sigma_{yz}^{(3)} z dz, \quad Q_{xz}^{(3)} = \int_{h_3} \sigma_{xz}^{(3)} dz, \quad Q_{yz}^{(3)} = \int_{h_3} \sigma_{yz}^{(3)} dz, \quad (2)$$

где  $\sigma_{xx}^{(k)}$ ,  $\sigma_{xz}^{(3)}$ ,  $\sigma_{zz}^{(3)}$  – компоненты тензора напряжений; интегралы берутся по толщине  $k$ -го слоя.

Для связи тензоров напряжений и деформаций в слоях рассматриваемой пластины используем соотношение закона Гука в девiatorно-шаровой форме:

$$s_{ij}^{(k)} = 2G_k \varepsilon_{ij}^{(k)}, \quad \sigma^{(k)} = 3K_k \varepsilon^{(k)} \quad (i, j = x, y, z, k = 1, 2, 3), \quad (3)$$

где –  $G_k$  сдвиговой модуль упругости материалов,  $\varepsilon_{ij}^{(k)}$  – компоненты девiatorа тензора деформаций,  $K_k$  – объемный модуль упругости материалов,  $\varepsilon^{(k)}$  – шаровая часть тензора деформаций.

Компоненты тензора напряжений записываются в виде:  
при  $k=1, 2$ :

$$\sigma_{xx}^{(k)} = K_k^+ \varepsilon_{xx}^{(k)} + K_k^- \varepsilon_{yy}^{(k)}, \quad \sigma_{yy}^{(k)} = K_k^+ \varepsilon_{yy}^{(k)} + K_k^- \varepsilon_{xx}^{(k)}, \quad \sigma_{xy}^{(k)} = 2G_k \varepsilon_{xy}^{(k)}.$$

Для третьего слоя

$$\begin{aligned} \sigma_{xx}^{(3)} &= K_3^+ \varepsilon_{xx}^{(3)} + K_3^- \varepsilon_{yy}^{(3)} + K_3^- \varepsilon_{zz}^{(3)}, & \sigma_{yy}^{(3)} &= K_3^+ \varepsilon_{yy}^{(3)} + K_3^- \varepsilon_{xx}^{(3)} + K_3^- \varepsilon_{zz}^{(3)}, \\ \sigma_{zz}^{(3)} &= K_3^+ \varepsilon_{zz}^{(3)} + K_3^- \varepsilon_{xx}^{(3)} + K_3^- \varepsilon_{yy}^{(3)}, & \sigma_{xz}^{(3)} &= 2G_3 \varepsilon_{xz}^{(3)}, \quad \sigma_{yz}^{(3)} = 2G_3 \varepsilon_{yz}^{(3)}, \end{aligned} \quad (4)$$

где  $K_k^+ = K_k + \frac{4}{3}G_k$ ,  $K_k^- = K_k - \frac{2}{3}G_k$ .

Используя вариационный принцип Лагранжа, получим уравнения равновесия рассматриваемой трехслойной пластины

$$\delta A = \delta W, \quad (5)$$

где  $\delta A$ ,  $\delta W$  – вариации работы внешней и внутренней сил.

Вариация работы внешней поверхностной нагрузки

$$\delta A = \iint_S \left( p_x (\delta u_{1x} - \frac{h_1}{2} \delta w_{1,x}) + p_y (\delta u_{1y} - \frac{h_1}{2} \delta w_{1,y}) + q \delta w_1 \right) dx dy. \quad (6)$$

Вариация работы внутренних сил упругости

$$\begin{aligned} \delta W = \iint_S \left\{ \sum_{k=1}^3 \int_{h_k} (\sigma_{xx}^{(k)} \delta \varepsilon_{xx}^{(k)} + \sigma_{yy}^{(k)} \delta \varepsilon_{yy}^{(k)} + 2\sigma_{xy}^{(k)} \delta \varepsilon_{xy}^{(k)}) dz + \right. \\ \left. + 2 \int_{h_3} (\sigma_{xz}^{(3)} \delta \varepsilon_{xz}^{(3)} + \sigma_{yz}^{(3)} \delta \varepsilon_{yz}^{(3)} + \sigma_{zz}^{(3)} \delta \varepsilon_{zz}^{(3)}) dz \right\} dx dy. \quad (7) \end{aligned}$$

Подставив (5), (6) в (7) была получена система шести дифференциальных уравнений равновесия пластины в усилиях. Из нее, с помощью соотношений (1), (3) и (4), внутренние усилия и моменты (2) выражаем через функции  $u_{1x}$ ,  $u_{2x}$ ,  $u_{1y}$ ,  $u_{2y}$ ,  $w_1$ ,  $w_2$ . В результате получим систему дифференциальных уравнений, описывающих перемещения в упругой трехслойной пластине со сжимаемым наполнителем:

$$\begin{aligned} a_1 u_{1x} - a_1 u_{2x} - a_4 u_{1x,xx} - a_5 u_{2x,xx} - a_{19} u_{1x,yy} - a_{18} u_{2x,yy} - a_{21} u_{1y,xy} - a_{23} u_{2y,xy} + \\ + a_2 w_{1,x} + a_3 w_{2,x} - 2a_{24} w_{1,xyy} + a_{25} w_{2,xyy} - 2a_6 w_{1,xxx} + a_7 w_{2,xxx} = p_x, \\ -a_1 u_{1x} + a_1 u_{2x} - a_5 u_{1x,xx} - a_9 u_{2x,xx} - a_{18} u_{1x,yy} - a_{20} u_{2x,yy} - a_{23} u_{1y,xy} - a_{22} u_{2y,xy} - \\ - a_{10} w_{1,x} - a_{17} w_{2,x} - a_{24} w_{1,xyy} + 2a_{25} w_{2,xyy} - a_6 w_{1,xxx} + 2a_7 w_{2,xxx} = 0, \end{aligned}$$

$$\begin{aligned}
 & a_1 u_{1y} - a_1 u_{2y} - a_4 u_{1y,yy} - a_5 u_{2y,yy} - a_{19} u_{1y,xx} - a_{18} u_{2y,xx} - a_{21} u_{1x,xy} - a_{23} u_{2x,xy} + \\
 & + a_2 w_{1,y} + a_3 w_{2,y} - 2a_{24} w_{1,xyy} + a_{25} w_{2,xyy} - 2a_6 w_{1,yyy} + a_7 w_{2,yyy} = p_y, \\
 & -a_1 u_{1y} + a_1 u_{2y} - a_5 u_{1y,yy} - a_9 u_{2y,yy} - a_{18} u_{1y,xx} - a_{20} u_{2y,xx} - a_{23} u_{1x,xy} - a_{22} u_{2x,xy} - \\
 & - a_{10} w_{1,y} - a_{17} w_{2,y} - a_{24} w_{1,xyy} + 2a_{25} w_{2,xyy} - a_6 w_{1,yyy} + 2a_7 w_{2,yyy} = 0, \\
 & -a_2 u_{1x,xx} - a_2 u_{1y,yy} + a_{10} u_{2x,xx} + a_{10} u_{2y,yy} + 2a_6 u_{1x,xxx} + a_6 u_{2x,xxx} + 2a_6 u_{1y,yyy} + \\
 & + a_6 u_{2y,yyy} + 2a_{24} u_{1x,xyy} + a_{24} u_{2x,xyy} + 2a_{24} u_{1y,xyy} + a_{24} u_{2y,xyy} + a_{11} w_{1,xx} + \\
 & + a_{11} w_{1,yy} - a_{12} w_{2,xx} - a_{12} w_{2,yy} + a_{15} w_{1,xxxx} + a_{15} w_{1,yyyy} - a_{16} w_{2,xxxx} - \\
 & - a_{16} w_{2,yyyy} + a_{26} w_{1,xyy} - a_{28} w_{2,xyy} + a_8 w_1 - a_8 w_2 = q + \frac{p_{x,xx} h_1}{2} + \frac{p_{y,yy} h_1}{2}, \\
 & -a_3 u_{1y,yy} - a_3 u_{1x,xx} + a_{17} u_{2y,yy} + a_{17} u_{2x,xx} - a_7 u_{1y,yyy} - a_7 u_{1x,xxx} - 2a_7 u_{2y,yyy} - \\
 & - 2a_7 u_{2x,xxx} - 2a_{27} u_{2y,xyy} - a_{25} u_{1y,xyy} - 2a_{25} u_{2x,xyy} - a_{25} u_{1x,xyy} - a_{12} w_{1,xx} - \\
 & - a_{12} w_{1,yy} + a_{14} w_{2,xx} + a_{14} w_{2,yy} - a_{16} w_{1,xxxx} - a_{16} w_{1,yyyy} + a_{13} w_{2,xxxx} + \\
 & + a_{13} w_{2,yyyy} - a_{28} w_{1,xyy} + a_{27} w_{2,xyy} - a_8 w_1 + a_8 w_2 = 0, \tag{8}
 \end{aligned}$$

где  $a_i$  ( $i=1, \dots, 28$ ) – коэффициенты, выражающиеся через объемный  $K_k$  и сдвиговой  $G_k$  модули упругости материалов, и геометрические параметры слоев пластины:

$$\begin{aligned}
 a_1 &= \frac{G_3}{2c}; \quad a_2 = \frac{G_3}{2} \left( 1 + \frac{h_1}{2c} \right) - \frac{K_3^-}{2}; \quad a_3 = \frac{G_3}{2} \left( 1 + \frac{h_2}{2c} \right) + \frac{K_3^-}{2}; \\
 a_4 &= K_1^+ h_1 + \frac{2K_3^+ c}{3}; \quad a_5 = \frac{K_3^+ c}{3}; \quad a_6 = \frac{K_3^+ c h_1}{6}; \quad a_7 = \frac{K_3^+ c h_2}{6}; \\
 a_8 &= \frac{K_3^+}{2c}; \quad a_9 = K_2^+ h_2 + \frac{2K_3^+ c}{3}; \quad a_{10} = \frac{G_3}{2} \left( 1 + \frac{h_1}{2c} \right) + \frac{K_3^-}{2}; \\
 a_{11} &= \frac{K_3^- h_1}{2} - \frac{G_3 c}{2} \left( 1 + \frac{h_1}{2c} \right)^2 - \frac{G_3 c}{6}; \\
 a_{12} &= \frac{K_3^- (h_1 + h_2)}{4} + \frac{G_3 c}{2} \left( 1 + \frac{h_1}{2c} \right) \left( 1 + \frac{h_2}{2c} \right) - \frac{G_3 c}{6}; \quad a_{13} = \frac{K_2^+ h_2^3}{12} + \frac{K_3^+ c h_2^2}{6}; \\
 a_{14} &= \frac{K_3^- h_2}{2} - \frac{G_3 c}{2} \left( 1 + \frac{h_2}{2c} \right)^2 - \frac{G_3 c}{6}; \quad a_{15} = \frac{K_1^+ h_1^3}{12} + \frac{K_3^+ c h_1^2}{6}; \\
 a_{16} &= \frac{K_3^+ c h_2 h_1}{12}; \quad a_{17} = \frac{G_3}{2} \left( 1 + \frac{h_2}{2c} \right) - \frac{K_3^-}{2}; \\
 a_{18} &= \frac{G_3 c}{3}; \quad a_{19} = G_1 h_1 + \frac{2}{3} G_3 c; \quad a_{20} = G_2 h_2 + \frac{2}{3} G_3 c; \\
 a_{21} &= G_1 h_1 + \frac{2}{3} G_3 c + K_1^- h_1 + \frac{2}{3} K_3^- c; \quad a_{22} = G_2 h_2 + \frac{2}{3} G_3 c + K_2^- h_2 + \frac{2}{3} K_3^- c;
 \end{aligned}$$

$$a_{23} = \frac{G_3 c}{3} + \frac{K_3^- c}{3}; \quad a_{24} = \frac{G_3 ch_1}{3} + \frac{K_3^- ch_1}{6}; \quad a_{25} = \frac{G_3 ch_2}{3} + \frac{K_3^- ch_2}{6};$$

$$a_{26} = \frac{K_1^- h_1^3}{6} + \frac{K_3^- ch_1^2}{3} - \frac{G_1 h_1^3}{3} - \frac{2G_3 ch_1^2}{3};$$

$$a_{27} = \frac{K_2^- h_2^3}{6} + \frac{K_3^- ch_2^2}{3} + \frac{G_2 h_2^3}{3} + \frac{2G_3 ch_2^2}{3}; \quad a_{28} = \frac{G_3 ch_1 h_2}{3} + \frac{K_3^- ch_1 h_2}{6}.$$

Краевая задача (8) об изгибе пластины замыкается добавлением граничных условий.

**Решение краевой задачи в перемещениях.** Решение будем искать методом Бубнова-Галеркина. Для этого искомые перемещения представляем в виде разложения в двойные тригонометрические ряды, которые автоматически удовлетворяют граничным условиям

$$u_{1x} = \sum_{n,m=0}^{\infty} U_{1xmn} \cos \frac{\pi nx}{a} \sin \frac{\pi my}{b}, \quad u_{2x} = \sum_{n,m=0}^{\infty} U_{2xmn} \cos \frac{\pi nx}{a} \sin \frac{\pi my}{b},$$

$$u_{1y} = \sum_{m,n=0}^{\infty} U_{1ymn} \sin \frac{\pi nx}{a} \cos \frac{\pi my}{b}, \quad u_{2y} = \sum_{m,n=0}^{\infty} U_{2ymn} \sin \frac{\pi nx}{a} \cos \frac{\pi my}{b},$$

$$w_1 = \sum_{n,m=0}^{\infty} W_{1mn} \sin \frac{\pi nx}{a} \sin \frac{\pi my}{b}, \quad w_2 = \sum_{n,m=0}^{\infty} W_{2mn} \sin \frac{\pi nx}{a} \sin \frac{\pi my}{b}, \quad (9)$$

где  $U_{1xmn}$ ,  $U_{2xmn}$ ,  $U_{1ymn}$ ,  $U_{2ymn}$ ,  $W_{1mn}$ ,  $W_{2mn}$  – искомые амплитуды перемещений прямоугольной трехслойной пластины со сжимаемым наполнителем.

Положим продольную нагрузку  $p_x \equiv 0$ ,  $p_y \equiv 0$ . Поперечную нагрузку  $q$  представим в виде разложения в двойной тригонометрический ряд:

$$q = \sum_{n,m=0}^{\infty} q_{mn} \sin \frac{\pi nx}{a} \sin \frac{\pi my}{b}, \quad q_{mn} = \frac{4}{ab} \int_0^a \int_0^b q(x,y) \sin \frac{\pi nx}{a} \sin \frac{\pi my}{b} dx dy. \quad (10)$$

После подстановки перемещений (9) и нагрузки (10) в систему уравнений равновесия (8) и необходимых преобразований получим систему линейных алгебраических уравнений для определения искомых амплитуд перемещений  $U_{1xmn}$ ,  $U_{2xmn}$ ,  $U_{1ymn}$ ,  $U_{2ymn}$ ,  $W_{1mn}$ ,  $W_{2mn}$ :

$$b_1 U_{1xmn} + b_2 U_{2xmn} + b_{11} U_{1ymn} + b_{12} U_{2ymn} + b_3 W_{1mn} + b_4 W_{2mn} = 0,$$

$$b_2 U_{1xmn} + b_5 U_{2xmn} + b_{12} U_{1ymn} + b_{13} U_{2ymn} + b_6 W_{1mn} + b_7 W_{2mn} = 0,$$

$$b_{11} U_{1xmn} + b_{12} U_{2xmn} + b_{14} U_{1ymn} + b_{15} U_{2ymn} + b_{16} W_{1mn} + b_{17} W_{2mn} = 0,$$

$$b_{12} U_{1xmn} + b_{13} U_{2xmn} + b_{15} U_{1ymn} + b_{18} U_{2ymn} + b_{19} W_{1mn} + b_{20} W_{2mn} = 0,$$

$$b_3 U_{1xmn} + b_6 U_{2xmn} + b_{16} U_{1ymn} + b_{19} U_{2ymn} + b_8 W_{1mn} + b_9 W_{2mn} = q_{mn},$$

$$b_4 U_{1xmn} + b_7 U_{2xmn} + b_{17} U_{1ymn} + b_{20} U_{2ymn} + b_9 W_{1mn} + b_{10} W_{2mn} = 0,$$

где коэффициенты  $b_i$  выражаются через величины  $a_i$  и зависят от параметров  $m$  и  $n$ .

Таким образом, получено решение краевой задачи об изгибе прямоугольной упругой трехслойной пластины со сжимаемым наполнителем.

**Численный параметрический анализ.** Принимается, что пакет трехслойной пластины составлен из материалов Д16Т–фторопласт–Д16Т, толщины слоев  $h_1 = 0,04$  м,  $h_2 = 0,02$  м,  $h_3 = 0,2$  м. Механические характеристики материалов взяты в монографии [18, с. 64, 75]. Нагрузка равномерно распределена по всей поверхности пластины интенсивностью  $q = -2$  МПа, размеры пластины  $a = 1$  м,  $b = 1$  м. При суммировании рядов (9) принималось 50 членов ряда.

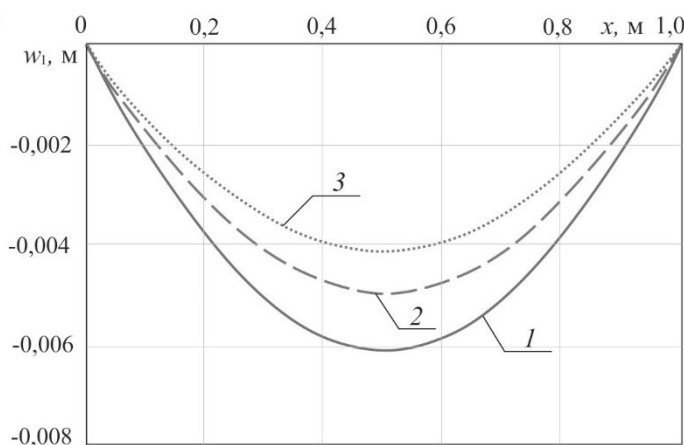


Рис.2.

Рис.2 иллюстрируют изменение прогибов и продольных перемещений в слоях пластины вдоль оси  $x$  ( $a = 1$  м,  $b = 1$  м,  $y = 0,5b$ ) с относительными толщинами несущих слоев –  $h_1 = 0,04$  м,  $h_2 = 0,02$  м при различных толщинах наполнителя. Кривые соответствуют следующим значениям 1 –  $h_3 = 0,04$  м, 2 –  $h_3 = 0,07$  м, 3 –  $h_3 = 0,1$  м.

Очевидно, что увеличение толщины наполнителя приводит к уменьшению прогибов первого несущего слоя, что подтверждает рис.2.

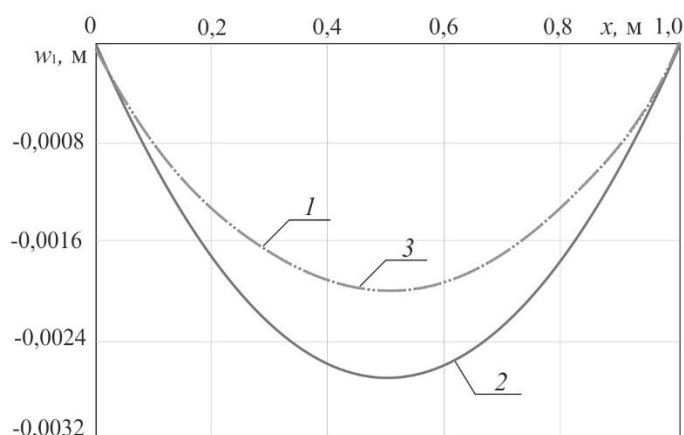


Рис.3.

На рис.3 показано изменение прогиба первого слоя  $w_1$  вдоль оси  $x$  при различных значениях  $y$ . Относительные толщины слоев –  $h_1 = 0,01$ ,  $h_2 = 0,04$ ,  $h_3 = 0,2$  м. Размеры пластины  $a = 1$  м,  $b = 1$  м. Кривые соответствуют следующим сечениям: 1 –  $y = \frac{b}{4}$ , 2 –  $y = \frac{b}{2}$ , 3 –  $y = \frac{3b}{4}$ . Из графика видно, что максимальное значение прогиба достигается в сечении  $y = 0,5b$ .

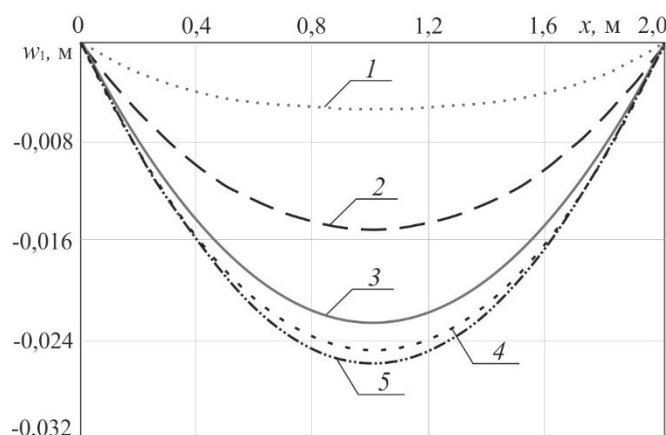


Рис.4.

На рис.4 показано изменение прогибов первого слоя  $w_1$  вдоль оси  $x$  ( $a = 2$  м,  $y = 0,5b$ ) при различных размерах длины пластины  $b$ : 1 –  $b = 1$  м, 2 –  $b = 2$  м, 3 –  $b = 4$  м, 4 –  $b = 6$  м, 5 –  $b = 10$  м. Относительные толщины слоев –  $h_1 = 0,01$ ,  $h_2 = 0,04$ ,  $h_3 = 0,2$  м.

При увеличении длины пластины  $b$  с 1 м до 2 м максимальный прогиб увеличивается на 61%, при увеличении длины пластины  $b$  с 2 м до 4 м – на 29%, при увеличении длины пластины с 4 м до 6 м величина прогиба увеличивается на 11,2%. Отличие максимальных прогибов на кривой 5 ( $b = 10$  м) от кривой 4 ( $b = 6$  м) составляет менее 1%.

Дальнейшее увеличение размера  $b$  не приводит к количественному изменению прогибов в центре пластины, изгиб пластины близок к цилиндрическому.

### Литература

1. Плескачевский Ю.М., Старовойтов Э.И., Леоненко Д.В. Механика трехслойных стержней и пластин, связанных с упругим основанием. М.: Физмалит, 2011. 560 с.
2. Старовойтов Э.И., Доровская Е.П. Изгиб прямоугольной трехслойной пластины на упругом основании // Проблемы машиностроения и автоматизации. 2006. №3. С. 21-28.
3. Горшков А.Г., Старовойтов Э.И., Яровая А.В., Леоненко Д.В. Деформирование трехслойной круговой пластины на упругом основании //

Экологический вестник научных центров Черноморского экономического сотрудничества. 2005. № 1. С. 16-22.

4. Starovoitov É.I., Yarovaya A.V., Leonenko D. V. Vibrations of round three-layer plates under the action of various types of surface loads // Strength of materials. 2003. Vol. 35. № 4. P. 346-352.
5. Болотин В.В., Новичков Ю.Н. Механика многослойных конструкций. М.: Машиностроение, 1980. 375 с.
6. Новичков Ю.Н. О различных моделях описания деформирования многослойных конструкций. // Тр. МЭИ. 1980. №459. С. 40-47.
7. Starovoitov É.I., Leonenko D.V., Yarovaya A.V. Elastoplastic bending of a sandwich bar on an elastic foundation // International Applied Mechanics. 2007. Vol. 43. №. 4. P. 451-459.
8. Starovoitov E.I., Leonenko D.V. Deformation of a three-layer elastoplastic beam on an elastic foundation // Mechanics of Solids. 2011. Vol. 46. № 2. P. 291-298.
9. Леоненко Д.В. Колебания трехслойного стержня под действием импульсных нагрузок различных форм // Материалы, технологии, инструменты. 2004. Т. 9. № 2. С. 23-27.
10. Kubenko V.D., Pleskachevskii Yu.M., Starovoitov É.I., Leonenko D.V. Natural vibration of a sandwich beam on an elastic foundation // International applied mechanics. 2006. Vol. 42. № 5. P. 541-547.
11. Леоненко Д.В. Вынужденные колебания трехслойного стержня на упругом безынерционном основании // Проблемы машиностроения и автоматизации. 2007. № 3. С. 70-74.
12. Леоненко Д.В. Радиальные собственные колебания упругих трехслойных цилиндрических оболочек // Механика машин, механизмов и материалов. 2010. №3(12). С. 53-56.
13. Агеев Р.В., Могилевич Л.И., Попов В.С. Колебания стенок щелевого канала с вязкой жидкостью, образованного трехслойным и твердым дисками // Проблемы машиностроения и надежности машин. 2014. № 1. С. 3-11.
14. Могилевич Л.И. Динамика взаимодействия сдавливаемого слоя вязкой несжимаемой жидкости с упругой трехслойной пластиной // Известия Российской академии наук. Механика твердого тела. 2008. № 5. С. 114-123.
15. Могилевич Л.И., Попов В.С., Старовойтов Э.И. Гидроупругость виброопоры с трехслойной круглой упругой пластиной с несжимаемым заполнителем // Наука и техника транспорта. 2006. № 2. С. 56-63.
16. Mogilevich L. I., Popov V. S., Popova A. A., Christoforova A. V., Popova E. V. Mathematical modeling of three-layer beam hydroelastic oscillations // Vibroengineering PROCEDIA, Vol. 12, 2017, p. 12-18.
17. Могилевич Л.И., Попов В.С., Христофорова А.В. Математические вопросы гидроупругости трехслойных элементов конструкций. Саратов: Изд-во КУБиК, 2012. 123 с.
18. Старовойтов Э.И. Вязкоупругопластические слоистые пластины и оболочки. Гомель: БелГУТ, 2002. 343 с.